

539.431: 620.178.311.32: 620.183: 669.15'24'26-194.56

(429)

SUS316 の高温亜サイクル疲労過程中的微視的組織変化

日新製鋼(株)・周南製鋼所 ○田中昭夫 幸川 考
星野和夫

1. 緒言: 高温亜サイクル疲労過程中的微視的組織変化に関する研究は少く、しかもX線解析により検討された報告例はないようである。著者らは、電顕観察に加え、X線解析を行なうことにより、SUS316の600, 700および800°Cでの亜サイクル疲労過程中の組織変化を調査し、さらに繰り返し硬化領域および飽和応力領域での組織と応力範囲($\Delta\sigma$)との対応について検討した。

2. 供試材および実験方法: 供試材は、40七電気炉により溶製されたSUS316である。このSUS316のスラブを30°の丸棒に鍛造後、1080°C×40minの熱処理を施した。試験は、直径10°、長さ50mmの平行部を有する試験片を用い、油圧サーボ型熱疲労試験機にてひずみ制御を行った。ひずみ波形は三角波で、ひずみ速度を $4 \times 10^4 \text{ sec}^{-1}$ とし、600, 700, 800°Cの温度で実施した。図1に示すように疲労過程中的任意のサイクルにおける1/4, 1/2, 3/4および3/2の時点にて試験を中断した後、X線回折および電顕観察を実施した。X線測定はCrターゲットを用いfixed count methodを行い、ラインプロファイルの解析による microstrains ($\langle \varepsilon_l \rangle^{1/2}$) および particle size ($\langle D_e \rangle$) の分離は、Garrod法により(200)面について実施した。

3. 実験結果: 1) 600, 700°Cでの繰り返し硬化領域下では、X線ラインプロファイル幅(B)の変化は応力範囲($\Delta\sigma$)の変化と対応している。繰り返し数(n)の増加に伴い $\langle D_e \rangle$ は上昇し、 $\langle D_e \rangle$ は減少する。(図2)

2) 飽和応力領域下では、Bは $\Delta\sigma$ の挙動と逆らざれど対応せず、600および700°Cでの飽和応力下の後期において、Bは低下してくる。700°Cではnの増加とともに $\langle D_e \rangle$ は増大し、 $\langle D_e \rangle$ はわずかに増加した後減少する。(図2)
600°Cでは、 $\langle D_e \rangle$ は変動せず約1000Åである。

3) 飽和応力領域下の1サイクル中では、Bは1/4, 3/4時で大きくなり、1/2, 2/3時で小さくなる。

この時、 $\langle D_e \rangle$ はBの変化に一致し、1/4, 3/4時で増加するが、 $\langle D_e \rangle$ はほとんど変化せず、1サイクル中では一定である。(図3)

4) nの増加に伴う $\langle D_e \rangle$ の変化挙動は、その絶対値は異なるが、電顕観察によるcellおよびsubgrain sizeの変化とほぼ類似する。

5) 700°Cの飽和応力領域下では、nの増加に伴いcell壁が明確になるとともにcell間の方位差が大きくなる。一方、800°Cでは、700°Cに比べより初期からセル間の方位差が大である。

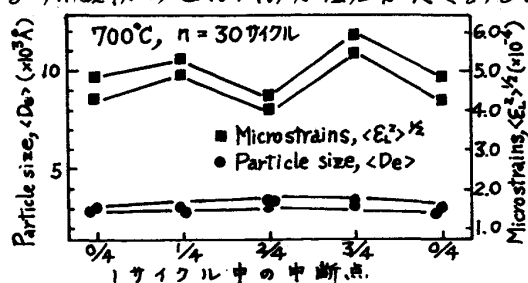
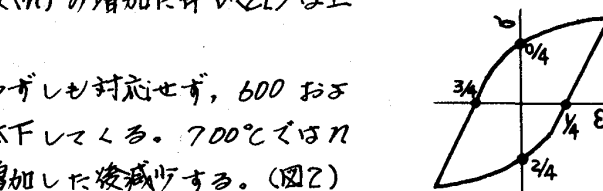
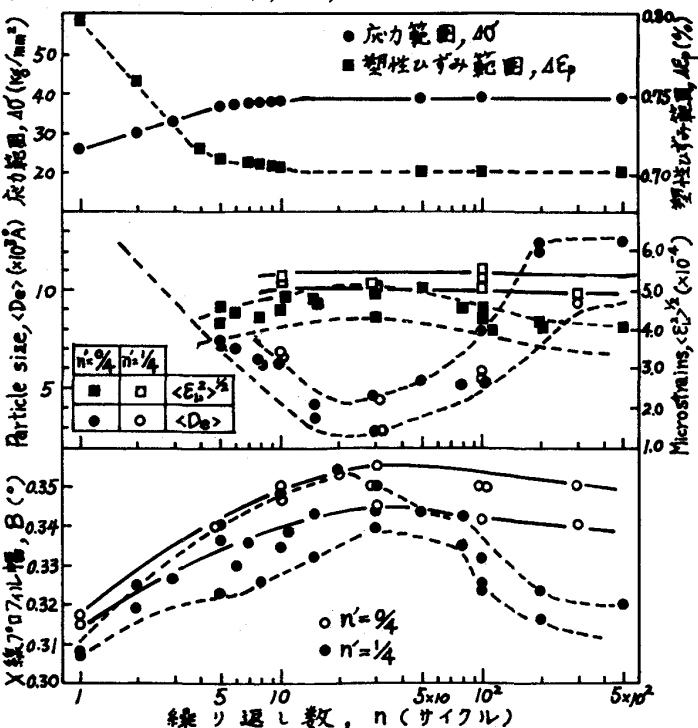
図3. 飽和応力領域下での1サイクル中の $\langle \varepsilon_l^2 \rangle^{1/2}$, $\langle D_e \rangle$ の変化

図1.1サイクル中の中断点

図2. 繰り返し数nに伴う $\Delta\sigma$, $\Delta\epsilon_p$, B , $\langle \varepsilon_l^2 \rangle^{1/2}$, $\langle D_e \rangle$ の変化 (700°C)